

Master Recherche Orsay 2006-2007

Fouille de Données et Apprentissage

Michèle Sebag, Antoine Cornuéjols, Balazs Kegl

TAO : Thème Apprentissage et Optimisation

Université Paris-Sud

<http://tao.lri.fr/>

Problèmes de représentation

- Sélection d'attributs
- Changements de représentation linéaires
- Changements de représentation non linéaires
- Une étude de cas

Au début sont les données...

Deux exemples

- Diabete : n individus et m variables

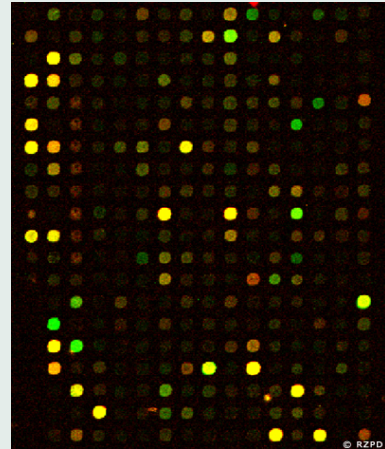
$$X = \begin{pmatrix} \text{age} & \text{sex} & \dots & X_{m=10} \\ 59 & 2 & \dots & 87 \\ \vdots & \vdots & \dots & \vdots \\ 36 & 1 & \dots & 92 \end{pmatrix}; \mathbf{y} = \begin{pmatrix} \text{diab.} \\ 151 \\ \vdots \\ 57 \end{pmatrix}$$

Patient	AGE	SEX	BMI	BP	...	Serum Measurements	...	Response			
	x1	x2	x3	x4	x5	x6	x7	x8	x9	x10	y
1	59	2	32.1	101	157	93.2	38	4	4.9	87	151
2	48	1	21.6	87	183	103.2	70	3	3.9	69	75
3	72	2	30.5	93	156	93.6	41	4	4.7	85	141
4	24	1	25.3	84	198	131.4	40	5	4.9	89	206
5	50	1	23.0	101	192	125.4	52	4	4.3	80	135
6	23	1	22.6	89	139	64.8	61	2	4.2	68	97
⋮	⋮	⋮	⋮	⋮	⋮	⋮	⋮	⋮	⋮	⋮	⋮
441	36	1	30.0	95	201	125.2	42	5	5.1	85	220
442	36	1	19.6	71	250	133.2	97	3	4.6	92	57

Table 1. Diabetes study. 442 diabetes patients were measured on 10 baseline variables. . . prediction model was desired for the response variable, a measure of disease progression one year after baseline.

- *microarray* : $n = 38 \ll m = 7126$

Quand l'apprentissage c'est la sélection d'attributs



Bio-informatique

- 30 000 gènes
- peu d'exemples (chers)
- but : trouver les gènes pertinents

Il est facile de faire n'importe quoi

Un exemple d'aventure fort désagréable...

<http://www-stat.stanford.edu/~hastie/TALKS/barossa.pdf>

(Rappel) Définition de p-value

Contexte : observation

le rouge est sorti 14 fois sur 20

Question : est-ce le hasard ?

deux hypothèses

- H_0 : le casino est honnête
- ... ou non

$$\Pr(\text{rouge}) = 1/2$$

p-value : Proba (\sim observation | H_0)

Nb de rouges sur N tirages $\sim \mathcal{B}(N, 1/2)$

$$\Pr(\# \text{ rouges} \geq 14) = .057$$

... On rejette l'hypothèse H_0 à 5% de niveau de confiance

Position du problème

Buts

- Sélection : trouver un sous-ensemble d'attributs
- Ordre/Ranking : ordonner les attributs

Formulation

Soient les attributs $\mathcal{A} = \{a_1, ..a_d\}$. Soit la fonction :

$$\mathcal{F} : \mathcal{P}(\mathcal{A}) \mapsto \mathbb{R}$$

$$A \subset \mathcal{A} \mapsto Err(A) = \text{erreur min. des hypothèses fondées sur } A$$

Trouver $Argmin(\mathcal{F})$

Difficultés

- Un problème d'optimisation combinatoire (2^d)
- D'une fonction \mathcal{F} inconnue...

Approches

Filter

méthode univariée

Définir $score(a_i)$; ajouter itérativement les attributs maximisant $score$
ou retirer itérativement les attributs minimisant $score$

+ simple et pas cher

– optima très locaux

Rq : on peut backtrack : meilleurs optima, mais plus cher

Wrapping

méthode multivariée

Mesurer la qualité d'un ensemble d'attributs :

estimer $\mathcal{F}(a_{i1}, \dots, a_{ik})$

– cher : une estimation = un pb d'apprentissage.

+ optima meilleurs

Approches filtre, 1

Notations

Base d'apprentissage : $\mathcal{E} = \{(x_i, y_i), i = 1..n, y_i \in \{-1, 1\}\}$
 $a(x_i)$ = valeur attribut a pour exemple (x_i)

Corrélation

$$\text{corr}(a) = \frac{\sum_i a(x_i) \cdot y_i}{\sqrt{\sum_i (a(x_i))^2 \times \sum_i y_i^2}} \propto \sum_i a(x_i) \cdot y_i = \langle a, y \rangle$$

Limites

Attributs corrélés entre eux
Dépendance non linéaire

Approches filtre, 2

Corrélation et projection

Stoppiglia et al. 2003

Repeat

- a^* = attribut le plus corrélé à la classe

$$a^* = \operatorname{argmax} \left\{ \sum_i a(x_i) y_i, a \in \mathcal{A} \right\}$$

- Projeter les autres attributs sur l'espace orthogonal à a^*

$$\begin{aligned} \forall b \in \mathcal{A} \quad b &\rightarrow b - \frac{\langle a^*, b \rangle}{\langle a^*, a^* \rangle} a^* \\ b(x_i) &\rightarrow b(x_i) - \frac{\sum_j a^*(x_j) b(x_j)}{\sum_j a^*(x_j)^2} a^*(x_i) \end{aligned}$$

Corrélation et projection, suite

- Projeter y sur l'espace orthogonal à a^*

$$y \rightarrow y - \frac{\langle a^*, y \rangle}{\langle a^*, a^* \rangle} a^*$$
$$y_i \rightarrow y_i - \frac{\sum_j a^*(x_j) y_j}{\sum_j a^*(x_j)^2} a^*(x_i)$$

- Until Critère d'arrêt
 - Rajouter des attributs aléatoires ($r(x_i) = \pm 1$) *probe*
 - Quand le critère de corrélation sélectionne des attributs aléatoires, s'arrêter.

Limitations

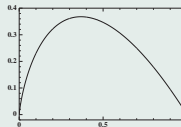
quand il y a plus de 6-7 attributs pertinents, ne marche pas bien.

Approches filtre, 3

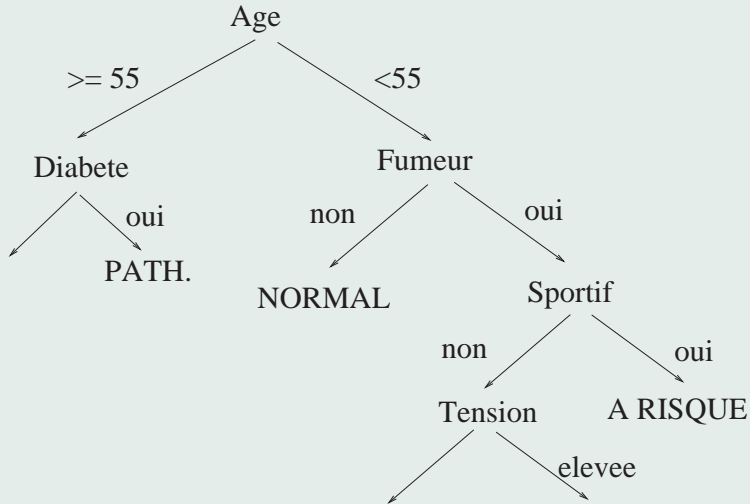
Gain d'information

arbres de décision

$$p([a = v]) = Pr(y = 1 | a(x_i) = v)$$
$$QI([a = v]) = -p([a = v]) \log p([a = v])$$
$$QI(a) = \sum_v Pr(a(x_i) = v) QI([a = v])$$



Gain d'information, suite



Limitations

Les mêmes que celles des arbres de décision
Problème de XOR.

Quelques scores

en fouille de textes, contexte supervisé

Notations : c_i une classe a_k un mot (ou terme)

Critères

1. Fréquence conditionnelle

$$P(c_i | a_k)$$

2. Information mutuelle

$$P(c_i, a_k) \text{Log} \left(\frac{P(c_i, a_k)}{P(c_i)P(a_k)} \right)$$

3. Gain d'information

$$\sum_{c_i, \neg c_i} \sum_{a_k, \neg a_k} P(c, a) \text{Log} \frac{p(t, c)}{P(t)P(c)}$$

4. Chi-2

$$\frac{(P(t, c)P(\neg t, \neg c) - P(t, \neg c)P(\neg t, c))^2}{P(t)P(\neg t)P(c)P(\neg c)}$$

5. Pertinence

$$\text{Log} \frac{P(t, c) + d}{P(\neg t, \neg c) + d}$$

Approches wrapper

Principe générer/tester

Etant donné une liste de candidats $\mathcal{L} = \{A_1, \dots, A_p\}$

- Générer un candidat A
- Calculer $\mathcal{F}(A)$
 - apprendre h_A à partir de $\mathcal{E}|_A$
 - tester h_A sur un ensemble de test $= \hat{\mathcal{F}}(A)$
- Mettre à jour \mathcal{L} .

Algorithmes

- hill-climbing / multiple restart
- algorithmes génétiques Vafaie-DeJong, IJCAI 95
- (*) programmation génétique & feature construction.

Krawiec, GPEH 01

Approches a posteriori

Principe

- Construire des hypothèses
- En déduire les attributs importants
- Eliminer les autres
- Recommencer

Algorithme : SVM Recursive Feature Elimination

- SVM linéaire $\rightarrow h(x) = \text{sign}(\sum w_i \cdot a_i(x) + b)$
- Si $|w_i|$ est petit, a_i n'est pas important
- Eliminer les k attributs ayant un poids min.
- Recommencer.

Guyon et al. 03

Limites

Hypothèses linéaires

- Un poids par attribut.

Quantité des exemples

- Les poids des attributs sont liés.
- La dimension du système est liée au nombre d'exemples.

Or le pb de FS se pose souvent quand il n'y a pas assez d'exemples

Problèmes de représentation

- Sélection d'attributs
- Changements de représentation linéaires
- Changements de représentation non linéaires
- Une étude de cas

Données : Matrices

(Rappels d'algèbre)

Introduction

●●○○○○○

Le LARS

○○○○○○○○○○○○○○

Conclusion

○○

3/27

Deux exemples

- Diabète : n individus et m variables

$$X = \begin{pmatrix} \text{age} & \text{sex} & \dots & x_{m=10} \\ 59 & 2 & \dots & 87 \\ \vdots & \vdots & \dots & \vdots \\ 36 & 1 & \dots & 92 \end{pmatrix}; \mathbf{y} = \begin{pmatrix} \text{diab.} \\ 151 \\ \vdots \\ 57 \end{pmatrix}$$

Patient	AGE x1	SEX x2	BMI x3	BP x4	...	Serum Measurements x5	x6	x7	x8	x9	x10	Response y
1	59	2	32.1	101	157	93.2	38	4	4.9	87	151	
2	48	1	21.6	87	183	103.2	70	3	3.9	69	75	
3	72	2	30.5	93	156	93.6	41	4	4.7	85	141	
4	24	1	25.3	84	198	131.4	40	5	4.9	89	206	
5	50	1	23.0	101	192	125.4	52	4	4.3	80	135	
6	23	1	22.6	89	139	64.8	61	2	4.2	68	97	
⋮	⋮	⋮	⋮	⋮	⋮	⋮	⋮	⋮	⋮	⋮	⋮	
441	36	1	30.0	95	201	125.2	42	5	5.1	85	220	
442	36	1	19.6	71	250	133.2	97	3	4.6	92	57	

Table 1. Diabetes study. 442 diabetes patients were measured on 10 baseline variables. ... prediction model was desired for the response variable, a measure of disease progression one year after baseline.

- microarray : $n = 38 \ll m = 7126$

Projeter

Base d'exemples

$$\mathcal{L} = \{(x_i, y_i), x_i \in \mathbb{R}^D, i = 1 \dots N\}$$

Changement de représentation linéaire

$$x \in \mathbb{R}^D \rightarrow x' \in \mathbb{R}^d, d \ll D$$
$$x' = Ax$$

≡ Changement de base : $\{e_1, \dots, e_D\} \rightarrow \{u_1, \dots, u_d\}$

$$x = a_1 e_1 + \dots + a_D e_D$$
$$\rightarrow x' = b_1 u_1 + \dots + b_d u_d$$

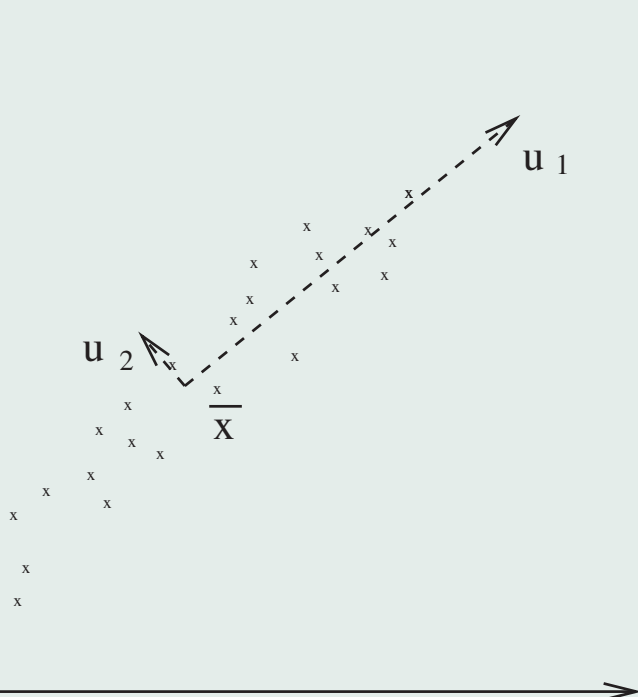
Critère

Minimiser la perte d'information $\sum_{i=1}^N \|x_i - x'_i\|^2$

Analyse en Composantes Principales

Théorème

La meilleure projection en dimension d : sur les d premiers vecteurs propres de la matrice de covariance des vecteurs x_1, \dots, x_N .



Analyse en Composantes Principales, Méthode, 1

- Centrer les vecteurs x_i

$$\bar{x} = \frac{1}{N} \sum_{i=1}^N x_i$$
$$z_i = x_i - \bar{x}$$

- Calculer la matrice de covariance

$$C = (C_{ij})_{N \times N} \quad C_{ij} = \langle z_i, z_j \rangle$$

Cette matrice est symétrique.

- La diagonaliser

$$C = U \Delta U', \quad \Delta = \text{Diag}(\lambda_1, \dots, \lambda_D)$$

Analyse en Composantes Principales, suite

(sans perte de généralité, $\lambda_i > \lambda_{i+1}$)

- A chaque valeur propre λ_i est associé un vecteur propre u_i
- Ces vecteurs propres sont orthogonaux : définissent une base
- On écrit z dans cette base :

$$z = x - \bar{x} = \sum_{i=1}^D b_i u_i$$

- On néglige les vecteurs propres u_k pour $k > d$

$$z' = x' - \bar{x} = \sum_{i=1}^d b_i u_i$$

Analyse en composantes principales, suite

Comment choisir d

$$\frac{\sum_{i=1}^d \lambda_i}{\sum_{i=1}^D \lambda_i} > .95$$

“capturer 95% de l’inertie du nuage”

On montre

$$Erreur < \frac{1}{2} \sum_{i=d+1}^D \lambda_i$$

Remarque

- La matrice de covariance des x' est $\Delta = \text{Diag}(\lambda_1, \dots, \lambda_d)$
- Les nouveaux attributs, combinaisons linéaires des anciens, sont difficiles à interpréter
- Il faut diagonaliser la matrice (complexité $\mathcal{O}(N^3)$)

Préliminaires - bonnes pratiques

- L'approche dépend des unités de mesure choisies
- Toujours normaliser les données AVANT
- Une normalisation particulière : centrer normer

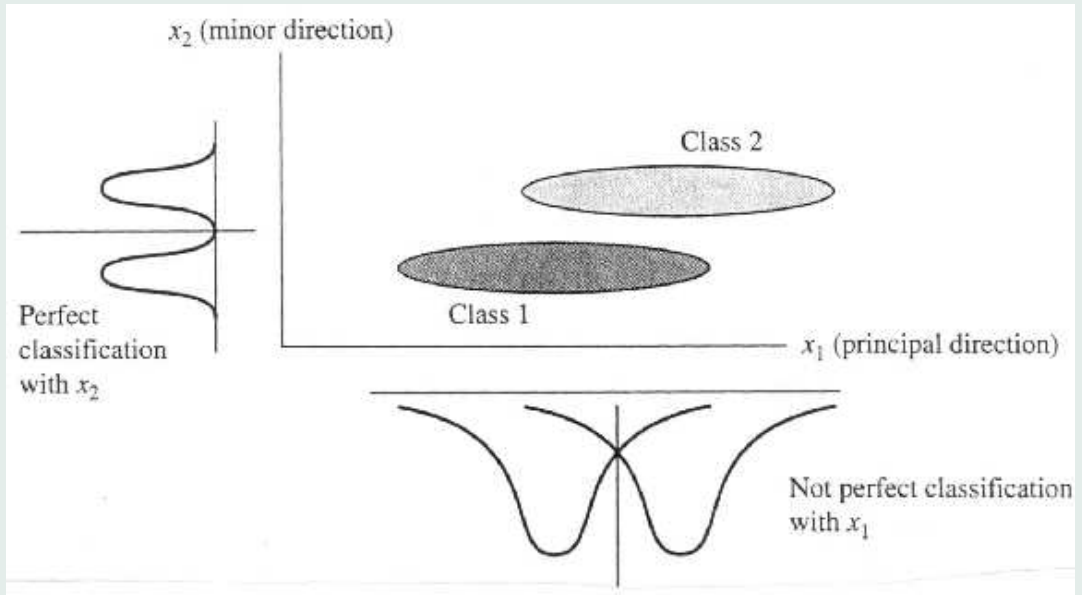
$$(a_1, \dots, a_N) \rightarrow \left(\frac{a_1 - \mu}{\sigma}, \dots, \frac{a_N - \mu}{\sigma} \right)$$

où μ est la moyenne, $\frac{1}{N} \sum_{i=1}^N a_i$
 σ est la variance, $\frac{1}{N} \sum_{i=1}^N a_i^2 - \mu^2$

- Cas des attributs nominaux : exploser en attributs binaires
couleur \rightarrow { couleur_bleue, couleur_rouge, .. }

- **PCA and classification**

- PCA is **not** always an optimal dimensionality-reduction procedure for classification purposes:



- **Other problems**

Analyse Sémantique Latente

Contexte : Fouille de textes

- N : milliers de documents
- D : dizaines de milliers de mots 100 000 mots en anglais

Matrice $M \in \mathbb{R}^{N \times D}$

- Problèmes : polysémie, synonymie
- Besoin de trouver les similarités entre mots, entre documents
- Analyse de co-occurrences inefficace
- Principe: si m_1 et m_2 sont trouvés dans le même contexte, ils sont peut-être similaires

Décomposition en valeurs singulières

Singular Value Decomposition

$$M = U\Delta V'$$

- U : changement de base pour les documents (\rightarrow “thème”)
- V : changement de base pour les mots (\rightarrow “unité linguistique”)

Principe

$$\begin{aligned} \Delta &\rightarrow \Delta' \quad (\text{annuler les val. propres les plus petites}) \\ M' &= U\Delta'V' \end{aligned}$$

Décomposition en valeurs singulières, 2

Fait apparaître des similarités entre mots indétectables par

- cosinus

$$\text{sim}(m_i, m_j) = \frac{\sum_{doc} m_i(doc) \times m_j(doc)}{\sqrt{\sum_{doc} m_i(doc)^2} \times \sqrt{\sum_{doc} m_j(doc)^2}}$$

- mesure de Spearman

$$R(m_i, m_j) = \frac{\sum_{doc} (m_i(doc) - \bar{m}_i) \times (m_j(doc) - \bar{m}_j)}{\sqrt{(\sum_{doc} (m_i(doc) - \bar{m}_i)^2) \times (\sum_{doc} (m_j(doc) - \bar{m}_j)^2)}}$$

Intuition

$$X = \begin{pmatrix} & m_1 & m_2 & m_3 & m_4 \\ d_1 & 0 & 1 & 1 & 1 \\ d_2 & 1 & 1 & 1 & 0 \end{pmatrix}$$

m_1 et m_4 ne sont pas “physiquement” ensemble dans les mêmes documents ; mais ils sont avec les mêmes mots ; “donc” ils sont un peu “voisins”...

Après SVD + Réduction,

$$X = \begin{pmatrix} & m_1 & m_2 & m_3 & m_4 \\ d_1 & \epsilon & 1 & 1 & 1 \\ d_2 & 1 & 1 & 1 & \epsilon \end{pmatrix}$$

Discussion

Différences SVD

vs

ACP

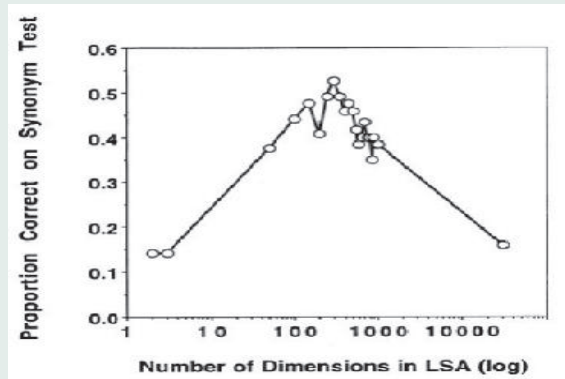
- Matrice initiale
 - qq centaines de valeurs propres
 - usage similarité
- matrice de covariance
- très peu
- usage visualisation, interprétation

Discussion, 2

Une application

- Test de synonymie

TOEFL



Déterminer le nb de dimensions/vp

- Expérimentalement...

Quelques remarques

- et la négation ?
- battu par: nb de hits sur le Web

aucune importance (!)

P. Turney

Quelques applications

- Educational Text Selection

Permet de sélectionner automatiquement des textes permettant d'accroître les connaissances de l'utilisateur.

- Essay Scoring

Permet de noter la qualité d'une rédaction d'étudiant

- Summary Scoring & Revision

Apprendre à l'utilisateur à faire un résumé

- Cross Language Retrieval

permet de soumettre un texte dans une langue et d'obtenir un texte équivalent dans une autre langue

Plus d'info <http://lsa.colorado.edu>

Probabilistic LSA

T. Hoffman, UAI 99

Principe : supposons

- des “groupes” de documents \equiv variables cachées z
- “peu” de var. cachées (comparé aux paires mots \times documents)

$$P(\text{documents}|\text{mots}) = P(\text{documents}|z) \times P(z|\text{mots})$$

Alors : Contraindre la décomposition

$$X_p = U_p S_p V_p^t$$

- $U_p : p(\text{documents}|z)$
- $S_p : p(z)$
- $V_p = p(\text{mots}|z)$

Comment ? Expectation Maximization

Expectation Maximization

Principe de l'apprentissage génératif

- Input : éléments g_1, \dots, g_N
- Output : modèles $\mathcal{G}_1, \dots, \mathcal{G}_n$

Algorithmes itératifs

A chaque itération

Pour tout g_i

EXPECTATION

Trouver \mathcal{G}_j tq

$$p(g_i|\mathcal{G}_j) = \max\{p(g_i|\mathcal{G}_k), k = 1..n\}$$

Pour tout \mathcal{G}_j

MAXIMISATION

Soit $E_j = \{g_i \text{ affecté à } \mathcal{G}_j\}$

Mettre à jour \mathcal{G}_j pour maximiser

$$\sum_{g \in E_j} p(g|\mathcal{G}_j)$$

Support Vector Machines et Catégorisation de textes

Représentation

- Sac de mots (avec stemming/radicaliseur)
- Feature selection (gain information) (?)

Discussion sur ce qu'on cherche

- Distribution de fréquences des mots
- Les mots rares contiennent *aussi* des informations...
- Notion de concepts denses

Zipf law

SVM adaptés

- espaces de grande dimension, peu de dimensions non pertinentes...
- documents “sparse”, concepts séparables...

Plus de détails

<http://citeseer.ist.psu.edu/joachims97text.html>

Problèmes de représentation

- Sélection d'attributs
- Changements de représentation linéaires
- Changements de représentation non linéaires
- Une étude de cas

Intuition

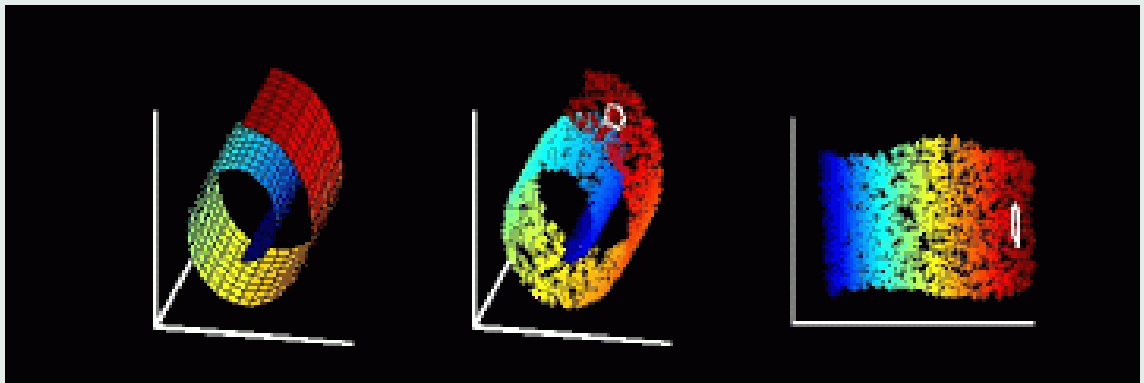
Degrés de liberté

- Images : 4096 pixels; mais pas 4096 degrés de liberté...
- Robotique : (camera + IR) x temps ; mais info pas indépendantes...

Objectif : accéder à la structure (peu de dimensions) des données

- Images, Robotique, Textes, Genes...

The Swiss Roll



Grandes lignes

- Conjecture : les exemples sont dans une variété
espace de dimension d inclus dans un espace de dimension D
- Aucune projection linéaire ne permet de découvrir que le Swiss Roll est dans \mathbb{R}^2
- Le but du jeu est
 - de déterminer que les données sont dans \mathbb{R}^d
 - de les projeter de manière “cohérente” sur \mathbb{R}^d

Cohérence ?

- Préserver les relations locales \equiv la structure
- Par exemple : préserver les distances

Mise à l'échelle Multi-Dimensionnelle

Multidimensional Scaling (MDS)

Problème posé

- N points de \mathbb{R}^D , et une matrice X de similarités
- Les projeter dans \mathbb{R}^d en “préservant” les similarités

$$\begin{aligned}x &\in \mathbb{R}^D \rightarrow \Phi(x) \in \mathbb{R}^d \\ \text{sim}(x, x') &\rightarrow \text{sim}(\Phi(x), \Phi(x')) \\ X (\in \mathbb{R}^{N \times N}) &\rightarrow X' (\in \mathbb{R}^{N \times N})\end{aligned}$$

Optimisation

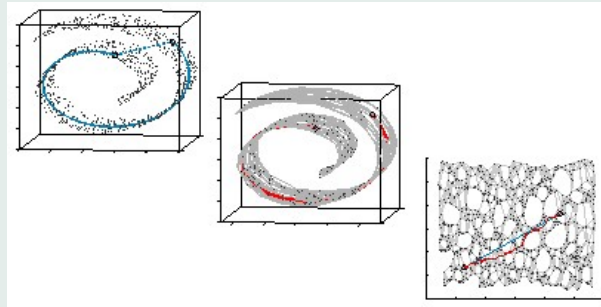
Trouver Φ minimisant $\|X - X'\|$

Rq : Si Φ est linéaire : Analyse en Composantes Principales...

MDS, 2

Linéaire MDS : ne marche pas

- Préserve toutes les distances
- Mais seules les distances locales ont un sens...



Projections non linéaires

APPROCHES

- Estimer les structures globales à partir des locales et chercher un plongement global
- Se préoccuper uniquement des structures locales et laisser tomber les autres

Isomap

LLE

Principe : localement c'est plat.

Comment identifier cette localité ?

- plus proches voisins
- boule de rayon ε

Isomap

Tenenbaum, da Silva, Langford 2000

<http://isomap.stanford.edu>

Estimation des distances $d(x_i, x_j)$

- Connue si x_i et x_j sont proches
- Sinon, calculer le plus court chemin (programmation dynamique)
distance géodésique

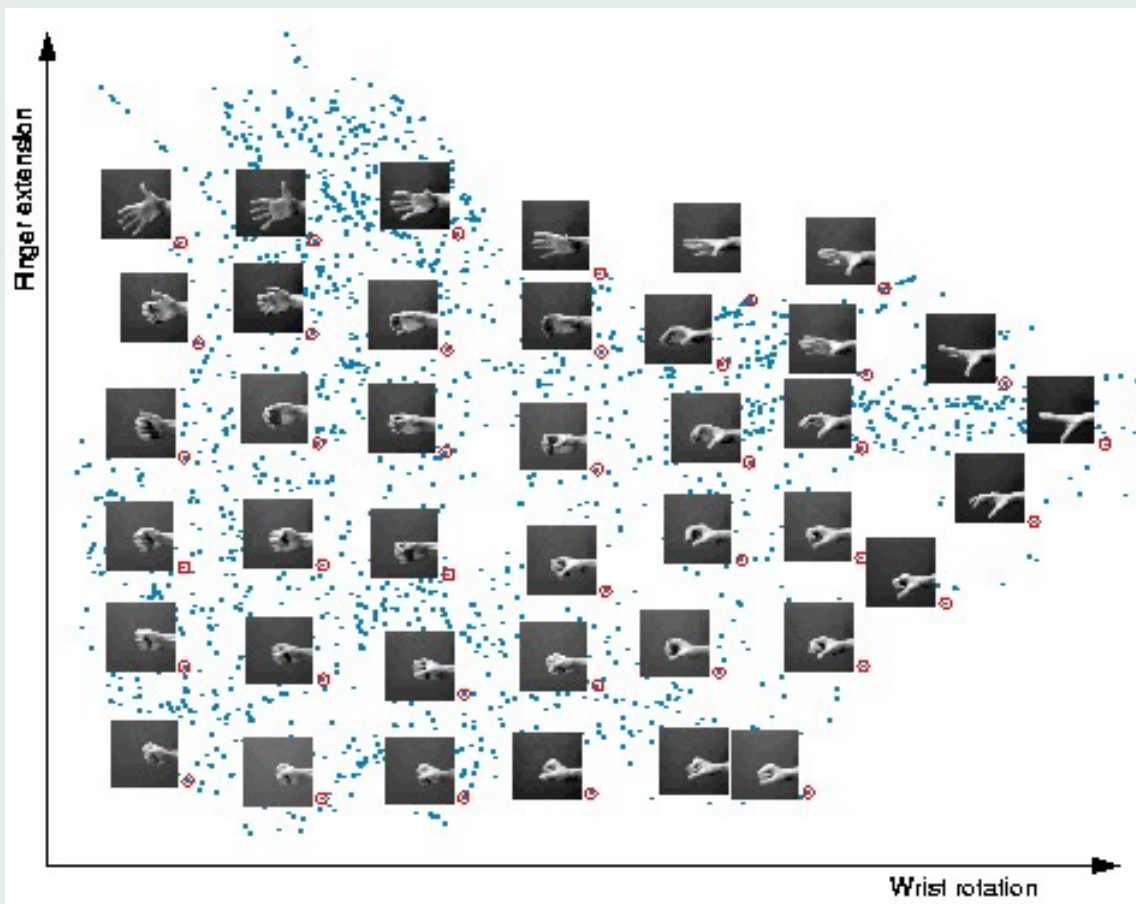
Condition nécessaire

- Données viennent d'un ensemble convexe de \mathbb{R}^d
- Alors, la distance géodésique \sim distance Euclidienne de \mathbb{R}^d

Se ramener au cas précédent : ACP

- On a la matrice $d(x_i, x_j)$, on estime $\langle x_i, x_j \rangle$
- On se projette ds un espace de dimension d

Isomap, 2

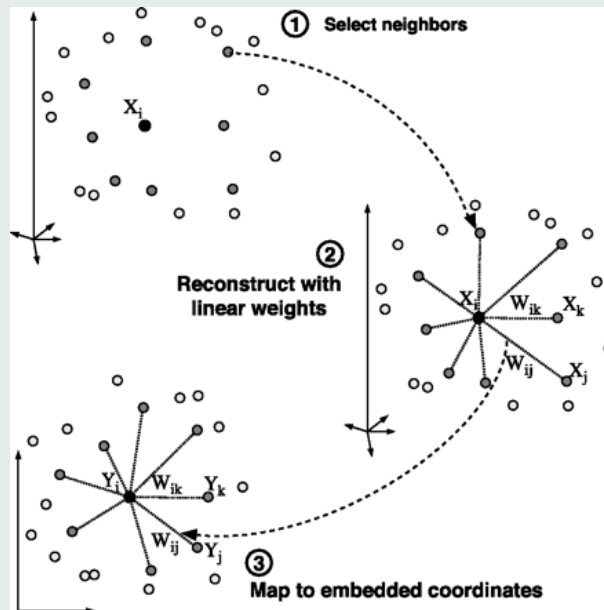


Locally Linear Embedding

Roweis and Saul, 2000

<http://www.cs.toronto.edu/~roweis/lle/>

- Cherche représentation locale en chaque point
- Exprimer chaque point en fonction des points voisins



LLE, Algorithme

Trouver les voisins

- Pour chaque point x_i , trouver ses plus proches voisins $\mathcal{N}(i)$

Trouver les poids

- Exprimer le point dans la base donnée par ses voisins

$$x_i = \sum_{j \in \mathcal{N}(i)} w_{i,j} x_j$$

On impose $\sum_{j \in \mathcal{N}(i)} w_{ij} = 1$

- Conséquence : invariance par translation, rotation, homothétie.
- Concrètement

$$C = (C_{j,k}), C_{j,k} = \langle x_j - x_i, x_k - x_i \rangle$$

Trouver w_i tq $C w_i = 1$ (attention ici w_i et 1 sont des vecteurs)

LLE Algorithme, 2

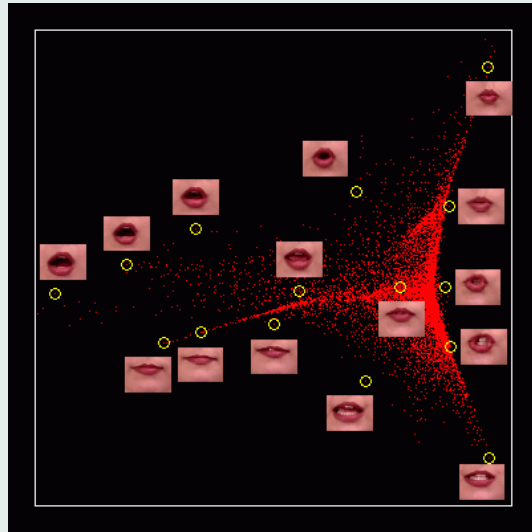
Reconstruction

- Matrice W :

$$W_{i,j} = \begin{cases} 0 & \text{si } j \text{ non voisin de } i \\ \frac{w_{i,j}}{\sum_{k \in \mathcal{N}(i)} w_{i,k}} & \text{sinon} \end{cases}$$

- Matrice $M = (I - W)'(I - W)$
- Construire les vecteurs propres de M
- Y' : prendre les d vecteurs propres associés aux plus petites valeurs propres (sauf 0)

Exemple, Images



LLE

LLE : Discussion

Global / Local

- Voisinages locaux : pour trouver les $W_{i,j}$
- Résolution globale : pour trouver les Y

1 Paramètre !

Le nombre de voisins considérés / Le rayon de la boule voisinage

Force / Faiblesse

- + Optimum global
- + Les exemples initiaux peuvent être connus seulement par leur similarités.
- Généralisation ?

Problèmes de représentation

- Sélection d'attributs
- Changements de représentation linéaires
- Changements de représentation non linéaires
- Une étude de cas

Une étude de cas

Plan

- Un critère d'apprentissage combinatoire - optimisé par évolution artificielle
- Une application réelle : Maladies Cardio-Vasculaires aperçus inattendus sur le risque du tabac et de l'alcool...
- Un espace d'hypothèses plus intéressant non-linéaire mais permettant de scorer les attributs
- Utiliser la variabilité des solutions d'un algorithme stochastique (AGs) \implies Méthode d'ensemble.

Critère ROC

Receiver Operating Characteristics

Principe

traitement du signal, médecine

Soit $h(x)$ mesurant le risque du patient x .

$h : X \mapsto \mathbb{R}$

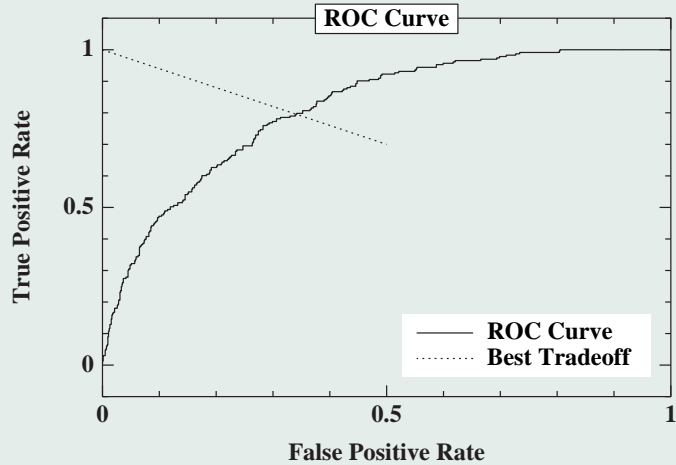
$$t \in \mathbb{R} \mapsto h_t(x) = \begin{cases} \textit{malade} & \textit{si } h(x) > t \\ \textit{OK} & \textit{sinon} \end{cases}$$

Pour h_t , définir:

- TP(t) : true positive rate, $Pr(h_t(x) = \textit{malade} | x \textit{ malade})$
- FP(t) : false positive rate, $Pr(h_t(x) = \textit{malade} | x \textit{ pas malade})$.

Tracer la courbe $(TP(t), FP(t), t \in \mathbb{R})$.

ROC Curve



ROC Curve, 2

ROC depicts the trade-off False Positive / True Positive.

Standard: misclassification cost

(Domingos, KDD 99)

$$\mathcal{F} = \# \text{ false positive} + c \times \# \text{ false negative}$$

In a multi-objective perspective, ROC = Pareto front.

Best solution: intersection of Pareto front with $\Delta(-c, -1)$

ROC: Extensively Used by Physicians

ROC Curve, 3

Used to compare learners

Bradley 97

multi-objective-like

insensitive to imbalanced distributions

shows sensitivity to error cost.

Used as learning criterion: Area under the ROC curve

Given Dataset = $\{(\mathbf{x}_i, y_i), \mathbf{x}_i \in \mathbb{R}^d, y_i \in \{-1, 1\}\}$

Genotype: hypothesis $h \mapsto$ Phenotype: ordered examples

+++ - ++ - + + + + - - - + - - - + - - - - - - - - -

$\mathcal{F}(h)$ = sum of ranks of positive examples.

AUC : to be minimized

Area Under the ROC Curve

Previous

EP-based NN optimization

Fogel+, 1998

GA-based linear optimization

Mozer+, 2001

greedy Decision Tree optimization

Ferri-Flach, 2002

ROGER: ROC-based Genetic Evolutionary Learner

$(\mu + \lambda)$ -ES

(Evolution Strategy)

Parameters

population size	# parents μ	10
	# offspring λ	50
max nb evaluations		10,000
crossover	uniform	rate .6
mutation	self-adaptive	rate 1

Experiments

Reference results: Support Vector Machines (SVMTorch)

Search space: linear classifiers : \mathbb{R}^d

Datasets from Irvine repository

	#att	#weight	#Train	#Test
Br. Canc.	9	42	189	97
Crx	15	47	70	620
German	25	25	100	900
Promoters	59	229	70	36
Satimage	36	36	139	1237
Vehicle	18	18	125	291
Votes	16	32	287	148
Waveform	22	22	211	3321

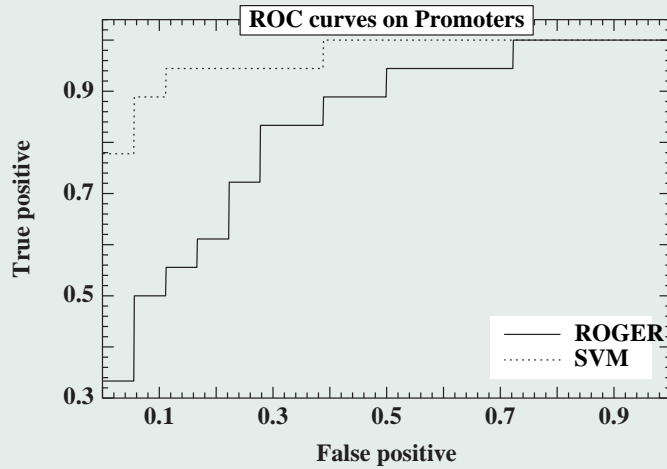
ROGER		SVMTorch	
AUC	time	AUC	time
.674 ± .05	7"	.672 ± .05	1"
.816 ± .06	7"	.839 ± .04	886"
.712 ± .03	6"	.690 ± .02	96"
.863 ± .07	2"	.974 ± .02	< 1"
.918 ± .01	4"	.876 ± .02	14"
.994 ± .005	1"	.993 ± .007	< 1"
.993 ± .004	7"	.989 ± .005	> 1,000
.971 ± .004	4"	.963 ± .008	2"

Experimental setting

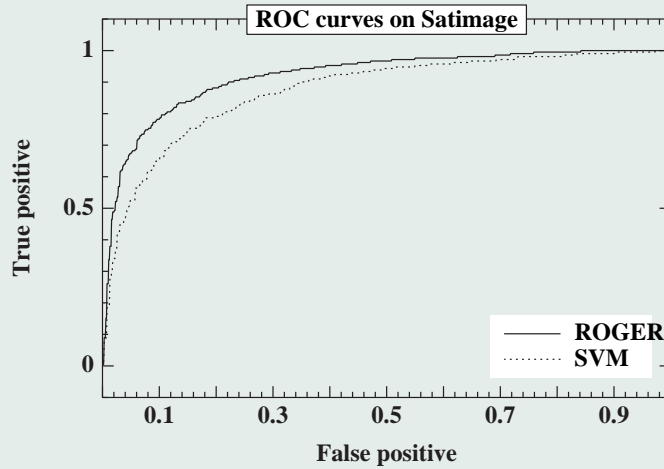
10 train/test splits

For each split, 1 SVMTorch run, 21 ROGER runs (take median)

ROC Curve, Promoters



ROC Curve, Satimage



Partial conclusions - ML aspects

PROS

- Competitive wrt state of art, SVM.
- Affordable cost, fitness computation $n \log(n)$
- Learning stability wrt imbalanced distribution, error cost

CONS

- Does not scale up well with # attributes

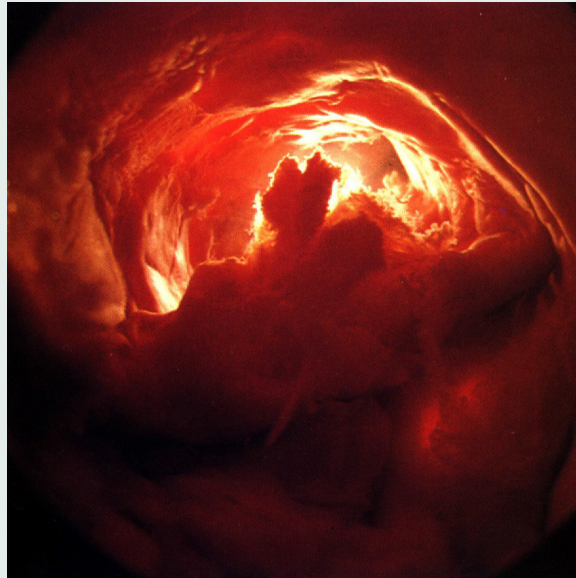
2003

Une autre approche : ROGER

Plan

- Un critère d'apprentissage combinatoire et son optimisation
- Une application réelle : Maladies Cardio-Vasculaires
aperçus inattendus sur le risque du tabac et de l'alcool...
- Un espace d'hypothèses plus intéressant
non-linéaire mais permettant de scorer les attributs
- Utiliser la variabilité des solutions d'un algorithme stochastique
(AGs) \implies Méthode d'ensemble.

A Medical Data Mining Application



Understanding Cardio-vascular Diseases

PKDD 2002-2003 Challenge

- Study Atherosclerosis Risk Factors First death cause in Western countries

Data

- ENTRY database (medical cliché, 1419 men, 219 attributes, 1976)
- CONTROL database (longitudinal study of a sample, 1976-1996)

First goal

- Given the medical cliché at t_0 , predict health state at $t_0 + 20$.

Some limitations of the data

Initial description :

very detailed
...not usable...

diseases 1st..4th brother, 1st..4th sister
4th sister INF MYOCARD....

What cannot be learned :

sufficient conditions for diseases

- (1) If father or mother diabetic
 - (2) And high stress
 - (3) And does not laugh once a day
- Then disease

... (Condition 3 likely missing in hospital db)

→ find at best necessary conditions

Changing the problem

Initial goal: classification

predefined classes

Patient \mapsto { normal, at risk, pathological }

Alternative: ranking

Mr X is more at risk than Ms Y

(Patient \times Patient) \mapsto { *true*, *false* }

concept is smoother (frontier between normal and pathological)

more flexible (medical / economical concerns)

Proposed: “underconstrained regression”

Risk(Mr X) is 3.7

Patient $\mapsto \mathbf{R}$

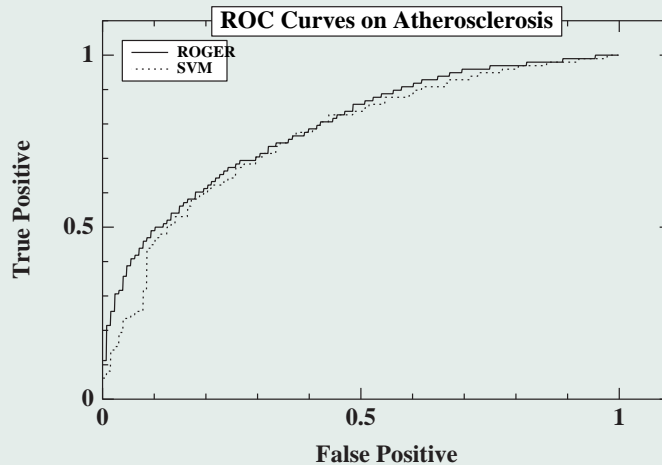
Atherosclerosis

Experimental setting: 2/3 training, 1/3 test

× 10

On each training set, 21 independent runs

Display the median ROC curve



Influence Analysis - The tobacco factor

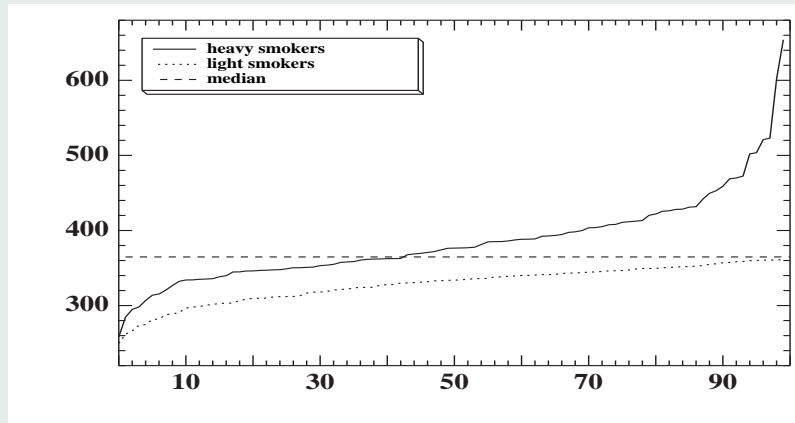
Procedure

A = { 100 non smoking individuals }

B = { 100 most smoking individuals }

Sort A and B by increasing value of the risk

Plot (i, risk(i))



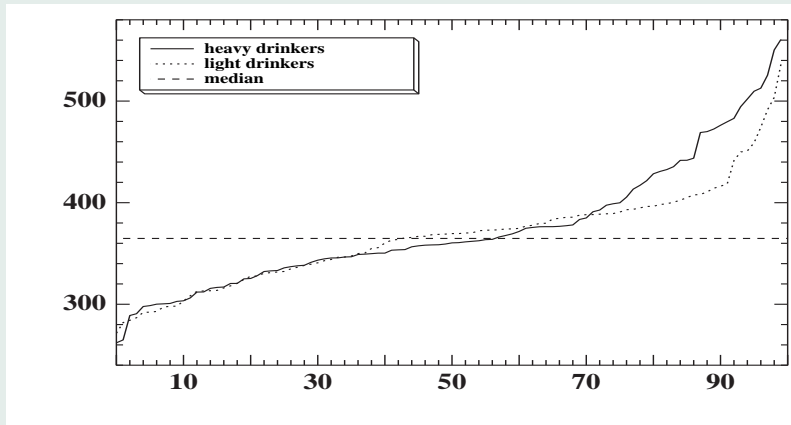
Influence Analysis - The alcohol factor

A = { 100 light drinkers }

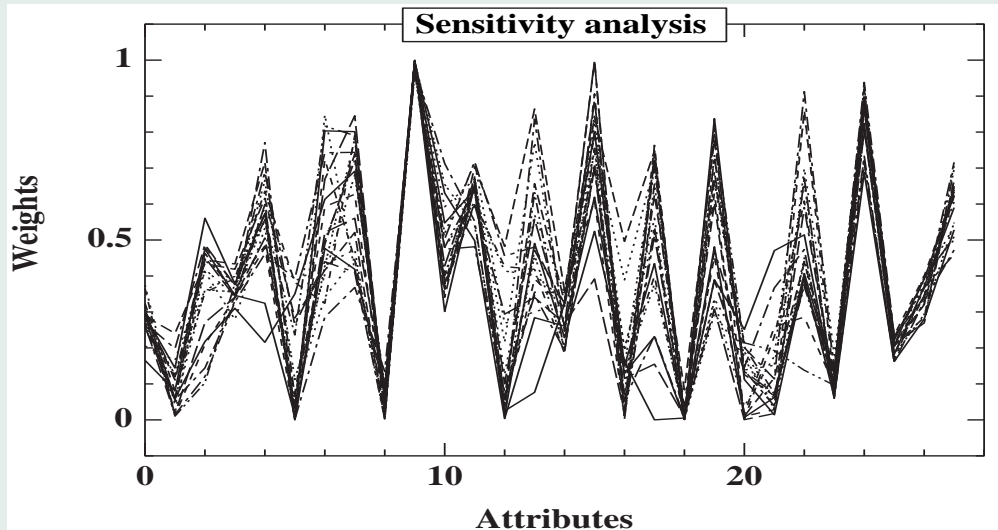
B = { 100 heavy drinkers }

Sort A and B by increasing value of the risk

Plot (i, risk(i))



Sensitivity Analysis - For free



21 runs, 21 solutions, 21 curves: $(i, weight(attribute_i))$

Conclusions - Perspectives

ICDM 2003, AE 2003

Present

- Good predictive performances
- Affordable complexity
- UNDERSTANDABLE RESULTS

Using Vision to Think, Card et al. 2001

Next

- Extend to kernel spaces
- Use for constructive induction

ROGER, suite

Plan

- Un critère d'apprentissage combinatoire - optimisé par évolution artificielle
- Une application réelle : Maladies Cardio-Vasculaires aperçus inattendus sur le risque du tabac et de l'alcool...
- Un espace d'hypothèses plus intéressant non-linéaire mais permettant de scorer les attributs
- Utiliser la variabilité des solutions d'un algorithme stochastique (AGs) \implies Méthode d'ensemble.

Un espace d'hypothèses plus intéressant

Espace linéaire

$$h(x) = \sum_i w_i a_i(x)$$

$$h \equiv w \in \mathbb{R}^d$$

Espace non linéaire pauvre

$$h(x) = \sum_i w_i |a_i(x) - c_i|$$

$$h \equiv (w, c) \in \mathbb{R}^{2d}$$

Intérêt

hypothèses non linéaires

espace de recherche linéaire \mathbb{R}^{2d}

score(attribut a_i) = w_i .

ROGER, suite

Plan

- Un critère d'apprentissage combinatoire - optimisé par évolution artificielle
- Une application réelle : Maladies Cardio-Vasculaires aperçus inattendus sur le risque du tabac et de l'alcool...
- Un espace d'hypothèses plus intéressant non-linéaire mais permettant de scorer les attributs
- Utiliser la variabilité des solutions d'un algorithme stochastique (AGs) \implies Méthode d'ensemble.

Evolution artificielle et méthodes d'ensemble

Méthodes d'ensemble, rappel

\mathcal{H} : espace d'hypothèses

- Erreur = biais + variance
- Biais : le mieux que l'on puisse faire sur l'espace d'hypothèses :
 $Err(h^*) = \mathit{Argmin}\{Err(h), h \in \mathcal{H}\}$
- Variance : on n'apprend pas h^* , hélas.
On apprend \hat{h}_n , dépendant des n exemples d'apprentissage.

Méthodes d'ensemble, 2

Principe : réduire la variance

- Apprendre $h_1, ..h_T$, décorréelées
- Tel que la probabilité d'erreur soit “raisonnable” weak learning

$$Pr(h_i(x) = y) = \frac{1}{2} + \eta$$

- Le vote, ou la combinaison linéaire des h_t fait mieux que le meilleur h_t .

Idée de preuve : Inégalité de Hoeffding

- Soit V_i des variables booléennes indépendantes de probabilité p .
- Soit Y_T la somme des variables $V_1, ..V_T$

$$Pr(|Y_T - T \times p| > \epsilon) < exp^{-2\epsilon T^2}$$

Evolution artificielle et méthodes d'ensemble, 2

Algorithme stochastique

- Chaque run \rightarrow une hypothèse indépendante.
- Chaque hypothèse \rightarrow un ordre sur les attributs.

Ordre faible

- Soit $\{a_1, ..a_N\}$ l'ordre parfait
- h_t : induit un ordre $<_t$ sur les attributs
- Supposons un ordre faible :

$$P(a_i <_t a_j | i < j) > \frac{1}{2} + \eta$$

Agrégation

- On définit $<_*$ comme :

$$(a_i <_* a_j) \iff |\{t/a_i <_t j\}| > \frac{T}{2}$$

Evolution artificielle et méthodes d'ensemble, 3

L'ordre agrégé est bien un ordre

$$Pr(i <_* k | i <_* j \text{ et } j <_* k) \rightarrow 1 \text{ quand } T \rightarrow \infty$$

.. et tend vers l'ordre parfait

- Soit $O_*(i) = |\{j/i <_* j\}|$ alors

$$Pr(|O_*(i) - i| > \tau) \rightarrow 0$$

Validation

Difficulté

- Validation d'un ensemble d'attributs ==
qualité de la meilleure hypothèse fondée sur ces attributs
⇒ Pas moyen de tester une méthode de sélection en soi.

Approche

- Pbs artificiels
- On connaît la solution ; est-ce qu'on la retrouve ?
- Permet étude de "Lésions" : bruit, passage à l'échelle % nb exemples, nb attributs...

Problèmes artificiels

Paramètres d'ordre

- Nb attributs $d = 100, 200, 500$
- Nombre d'exemples $n = d/2, d, 2d$
- Nombre d'attributs pertinents $r = d/20, d/10, d/5$
- Type de concept à apprendre : Linéaire ou Non.
- Bruit de classe $e = 0, 5, 10\%$
- Bruit d'attribut $\sigma = 0, 0.05, 0.1$

Construire un pb artificiel (d, n, r, l, e, σ)

Se donner les attributs pertinents : $\{1, 2, \dots, r\}$ parmi $\{1, \dots, d\}$

Pour chaque exemple x_j

- Pour $i = 1..d$, tirer $a_i(x_j)$ uniformément ds $[0, 1]$

Construction de y_j

- Cas linéaire :

$$y_j = \left(\sum_{i=1}^r a_i(x_j) > \frac{r}{2} \right)$$

- Cas non-linéaire :

$$y_j = \left(\sum_{i=1}^r |a_i(x_j) - .5| < \frac{r}{12} \right)$$

Pbs artificiels, suite

Perturbation

- $y_j = -y_j$ avec probabilité e
- $a_i(x_j) + = \mathcal{N}(0, \sigma)$

Méthodologie expérimentale

Pour chaque (d, n, r, l, e, σ) , construire 20 problèmes

 Pour chaque problème, apprendre 20 hypothèses

20 runs

 Agréger les poids des 20 hypothèses

 Comparer l'ordre obtenu à l'ordre désiré

Moyenner l'erreur sur les 20 problèmes

Algorithme de référence

Stoppiglia et al., JMLR 2003

Score d'un attribut

- Cosinus : $\text{score}(a) = \sum_i a(x_i) \cdot y_i$

Projection itérative de Gauss

- Trouver le meilleur attribut a
- Projeter les données et le concept sur l'espace orthogonal à a

Mesure de performance

Qualité pour une sélection itérative

p_b probabilité du top d'être pertinent

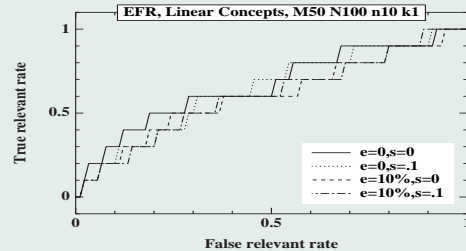
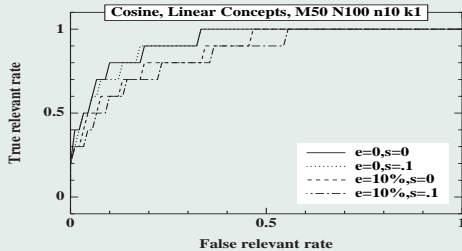
Qualité pour une élimination itérative

p_w pire rang d'un attribut pertinent

Compromis

Taux de vrais pertinents l_{em} vs taux de faux pertinents : AUC.

Comparaison sur des concepts linéaires



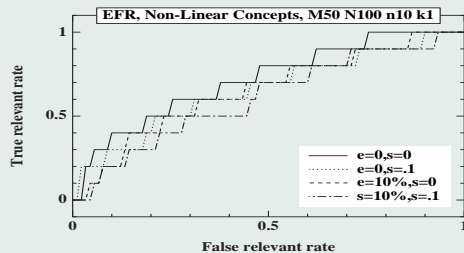
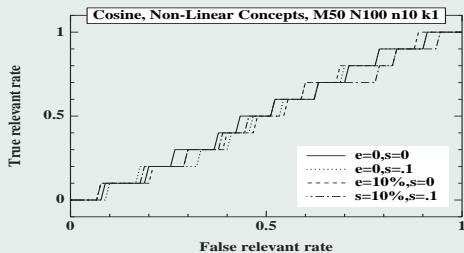
Stoppiglia

ROGER

Stoppiglia >> ROGER >> Random

Ici : $d = 100, n = d/2, r = d/10$

Comparaison sur des concepts non linéaires



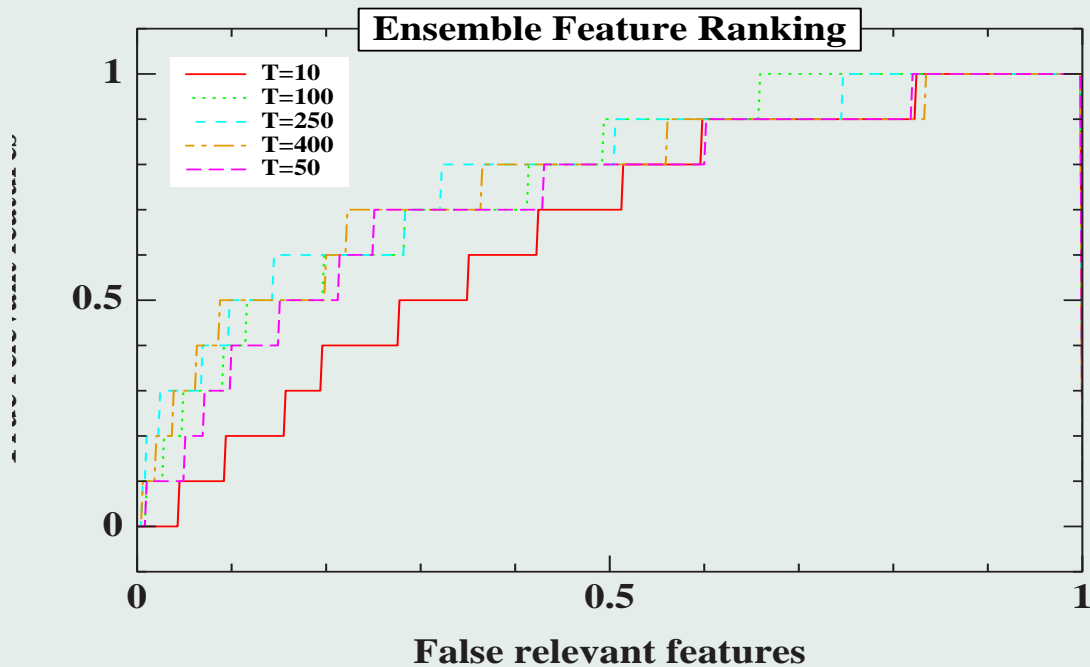
Stoppiglia

ROGER

ROGER >> Stoppiglia = Random

Ici : $d = 100, n = d/2, r = d/10$

Ensemble Feature Ranking



Quand on augmente T : de 10 à 400.

Conclusion

Contributions

- weak ranking \Rightarrow strong ranking
- EC enables ensemble methods “for free”
- a principled framework for evaluating feature ranking/selection

Limits

- Only conjunctive concepts.
- And ?

Next

- Multi-modal evolution / several hypotheses in a population.